

## زیست چینه نگاری و بوم شناسی دیرینه نهشته‌های کرتاسه بالایی در برش هنوج (غرب کرمان)

احمد لطف آباد عرب<sup>۱\*</sup>، محمد رضا وزیری<sup>۲</sup>

۱- استادیار گروه زمین شناسی، دانشکده علوم، دانشگاه شهید باهنر کرمان، کرمان، ایران

۲- دانشیار گروه زمین شناسی، دانشکده علوم، دانشگاه شهید باهنر کرمان، کرمان، ایران

\*پست الکترونیک: arab5753@yahoo.com

تاریخ پذیرش: ۹۰/۶/۱۵

تاریخ دریافت: ۹۰/۲/۱۹

### چکیده

توالی نسبتاً ضخیمی از نهشته‌های کرتاسه بالایی در کوه باداموئیه در منطقه هنوج، اشکوبهای سномانین پسین - سانتونین را به نمایش می‌گذارد. همچنین، این نهشته‌ها در جنوب غرب بی‌بی حیات و جنوب چشمۀ گز نیز بیرون زدگی دارند. برش مورد مطالعه، در قاعده از مارنهای سبز رنگ هنوج زیرین (غیررسمی)، میان لایه سنگ آهک شیلی اگزوژیرادر و مارنهای هنوج بالایی (غیررسمی) تشکیل شده و به سمت بالا به سنگ آهکهای متوسط تا ضخیم لایه ختم می‌شود. این توالی با نایپوستگی هم شبی بر روی شیلها و ماسه سنگهای ژوراسیک (احتمالاً سازند هجدک) قرار گرفته است. حضور همزمان اُسترآکدهای پلاتی کوپید و پودو کوپید، تنوع بالای روزن داران و ماکروفسیلها در مارنهای هنوج و نیز تنوع بالای روزن داران بتونیک در سنگ آهکهای بالایی بیانگر محیطی مناسب و فاقد تنشهای اکولوژیکی در زمان نهشته‌شدن این توالیها است.

**واژه‌های کلیدی:** کوه باداموئیه، هنوج، سnomانین پسین - سانتونین، آهک شیلی اگزوژیرادر، پلاتی کوپید، پودو کوپید.

### مقدمه

ختم می‌شوند. توالی رسوبی کوه باداموئیه توسط محققین متعددی مورد بررسی قرار گرفته و سنهای مختلفی برای آنها پیشنهاد شده است. در مورد سن مارنهای برش هنوج برخی از محققین نظرات متفاوتی را عنوان نموده‌اند. به عنوان مثال هوکریده و همکاران (۱۹۶۲) سن این مارنهای را سnomانین، دیمیتریژویچ (۱۹۷۳) سnomانین پسین، ماهانی پور (۱۳۸۳) آلبین پسین - سnomانین پیشین، عرب (۱۳۸۳) و عرب و همکاران (۱۳۸۴) آلبین پسین - سnomانین پیشین و وزیری و

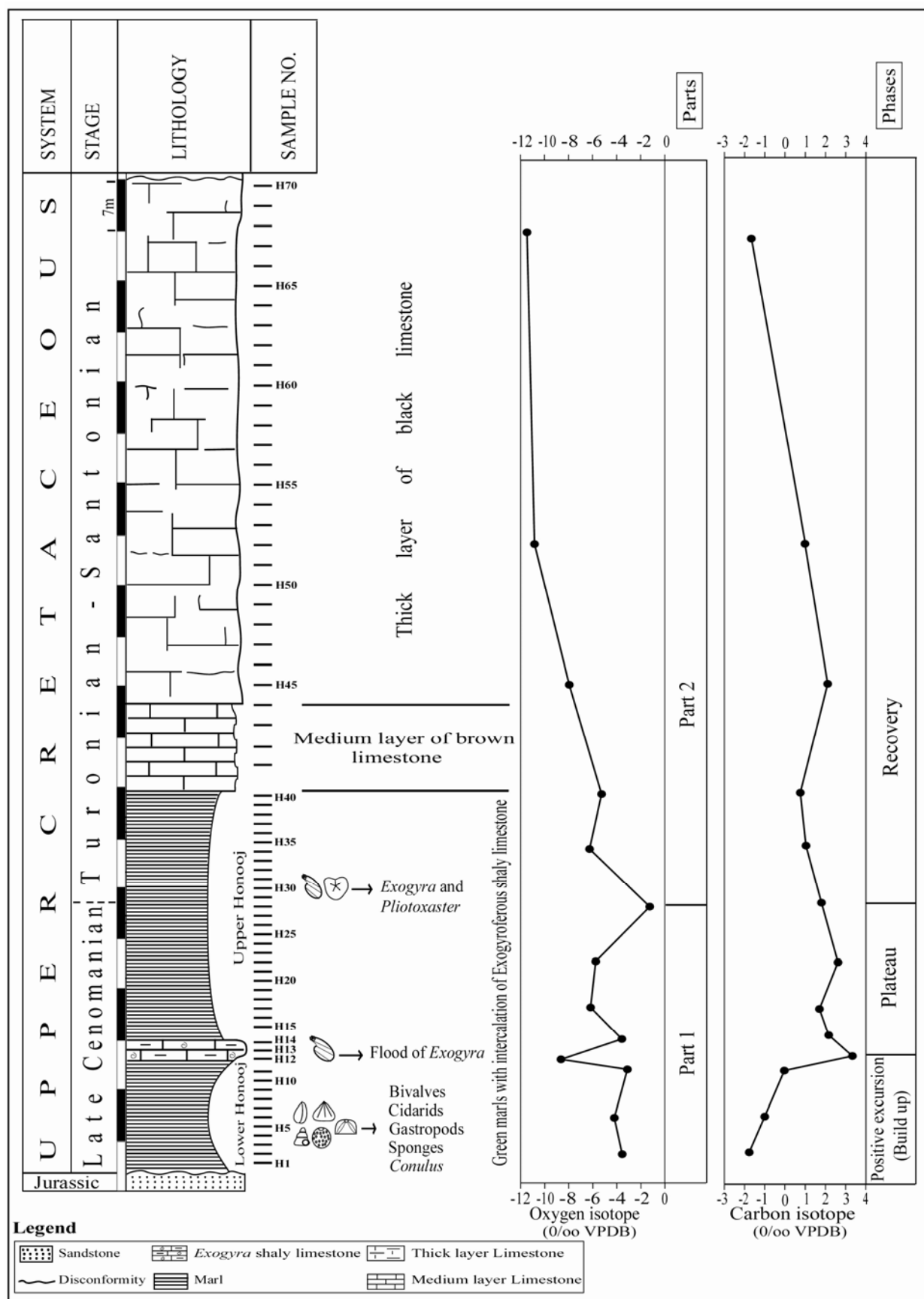
در کوه باداموئیه (غرب کرمان) توالیهای عظیم و گستردگی از نهشته‌های سnomانین پسین - سانتونین مشاهده می‌گردد که از منطقه هنوج تا چشمۀ گز رخنمون دارند. در این ناحیه، شیلها و ماسه سنگهای ژوراسیک در زیر نهشته‌های ضخیمی از مارنهای سبز رنگ (که به طور غیر رسمی مارنهای سبز رنگ هنوج زیرین و بالایی نامیده شده‌اند) که توسط لایه سنگ آهک شیلی اگزوژیرادر از یکدیگر جدا شده‌اند، قرار گرفته و در بالا به سنگ آهکهای متوسط لایه تا توده‌ای

متعلق به تورونین در این برش داشته و با ظهور دو نمونه از دوکفه‌ای *Exogyra olisiponensis* در قسمت انتهایی مارنهای هنوج بالایی، سن سنومانین پسین تا تورونین تأیید می‌گردد. روزن‌داران موجود در سنگ آهکهای ستیغ ساز بخش بالایی، نشان دهنده سنی معادل کنیاسین - سانتونین برای این بخش از بیرون زدگیهای برش هنوج می‌باشند که توسط عرب (۱۳۸۹) مشخص گردیده است. بنابراین، سن سنومانین پسین - سانتونین را برای این نهشته‌ها می‌توان در نظر گرفت. در این مقاله چینه نگاری زیستی و بوم شناسی دیرینه نهشته‌های مذکور مورد مطالعه و بررسی قرار گرفته و مرز بین اشکوبها نیز مشخص گردیده است.

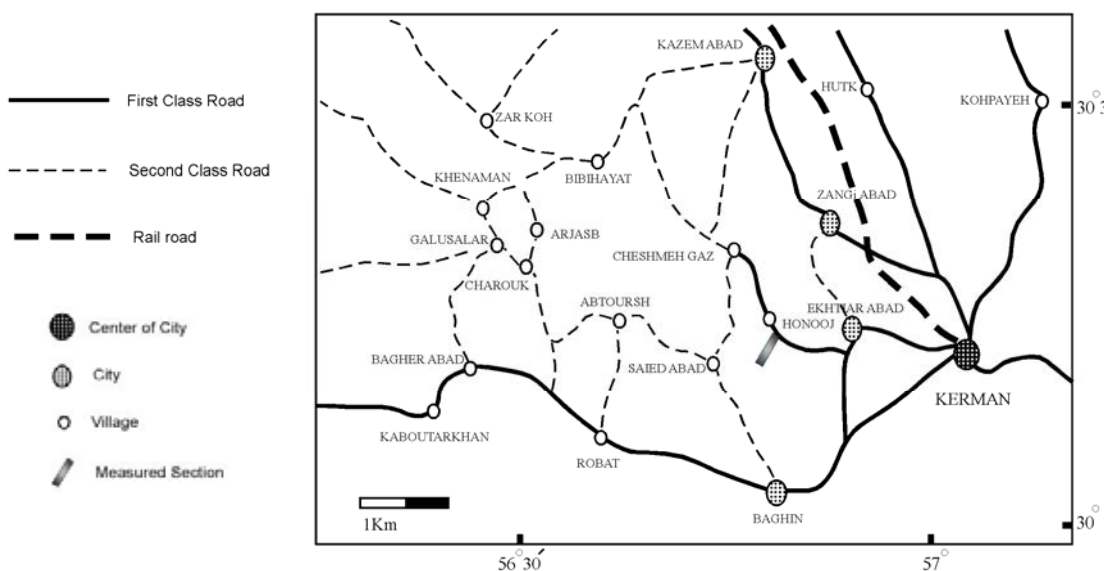
### **موقعیت جغرافیایی و راههای دسترسی به برش مورد مطالعه**

این برش، بخشی از کوه باداموئیه با امتداد شمال غرب - جنوب شرق می‌باشد که در ۱/۵ کیلومتری جنوب روستای هنوج، ۱۲ کیلومتری جنوب غرب اختیارآباد و در ۲۵ کیلومتری غرب کرمان واقع شده و از لحاظ تقسیمات زمین شناسی ایران متعلق به زون ایران مرکزی می‌باشد. نام این برش، از دهکده هنوج واقع در شمال منطقه مورد مطالعه گرفته شده است. این برش، بین عرض جغرافیایی "۴۶°۵۰'۰۰" شرقی و طول جغرافیایی "۱۵°۳۰'۰۰" شمالی واقع شده و ارتفاع آن از سطح دریای آزاد ۱۸۵۵ متر می‌باشد. دسترسی به این برش از طریق جاده آسفالته کرمان - اختیارآباد - باداموئیه و راه شوسه روستای هنوج، امکان پذیر می‌باشد. موقعیت جغرافیایی و راههای دسترسی به این برش، در شکل (۲) نشان داده شده است.

همکاران (۲۰۰۶ و ۲۰۰۷) نیز سن آلبین پسین - سنومانین پیشین در نظر گرفته‌اند، اما بررسیهای جامع صورت گرفته به ویژه مطالعات ژئوشیمیایی و به خصوص منحنی  $C^{13}$  سن مارنهای این برش را مرز سنومانین - تورونین نشان می‌دهد که در شکل ۱ آمده است. در این برش سه مرحله اصلی قبل از جهش، تسطیح و بازیافت مشاهده شده شده و دقیقاً مشابه با منحنیهایی است که از مرز سنومانین - تورونین سایر نقاط دنیا توسط وزیری (۱۹۹۷)، پل و همکاران (۱۹۹۹) و فیشر و همکاران (۲۰۰۵) گزارش شده است. در مورد سن برش هنوج همان گونه که قبل از گردیده، نظرات متفاوتی ارائه شده، اما مشاهده منحنی تغییرات کربن ۱۳ آشکارا نشان می‌دهد این برش مرز سنومانین - تورونین را به نمایش می‌گذارد. شواهد دقیق فیزیکی ساب هرسینین در این لذا می‌توان نتیجه گرفت فاز کوهزایی ساب هرسینین در این نقطه از ایران مرکزی احتمالاً بی‌تأثیر باشد زیرا تعیین سن دقیق سنگ آهکهای ستیغ ساز برش هنوج، تا حدودی با تردید همراه بوده و ممکن است بخشی یا تمامی نهشته‌های کنیاسین در آن وجود نداشته باشد. همچنین، با توجه به مطالعات انجام شده توسط بگی (۱۳۷۵) و جعفریان و همکاران (۱۳۷۹) که تأثیر فاز کوهزایی ساب هرسی نیز را عامل نبود نهشته‌های تورونین - کنیاسین در نواحی مورد مطالعه خود می‌دانند، در منطقه مورد مطالعه، این فاز احتمالاً بی‌تأثیر بوده و رسوبات متعلق به این اشکوبها دیده می‌شوند. به علاوه، مطالعه دقیق استراکدهای برش مذکور مشابه با آن چیزی است که توسط لامولدا (۱۹۸۲)، جارویس و همکاران (۱۹۸۸)، وزیری (۱۹۹۷) و دیگر محققین از مرز سنومانین - تورونین گزارش شده است. به عقیده وزیری و همکاران (۲۰۰۶)، پیدایش برخی از آمونیتهای خانواده (جنسهای *Tissotia* و *Heterotissotia*) متعلق به تورونین (که البته به طور نابرجا از بخش‌های بالایی مارنهای هنوج بالایی به دست آمده‌اند) حکایت از وجود نهشته‌های



شکل ۱: ستون چینه نگاری و منحنی ایزوتاپ کربن و اکسیژن در برش هنوج.



شکل ۲: نقشه راههای ارتباطی در منطقه مطالعه (برگرفته از بختیاری، ۱۳۸۸؛ با اندکی تغییرات).

نمونه مارنی از برش مورد مطالعه برداشت گردیده است. در آزمایشگاه ۲۰۰ گرم از نمونه به عنوان شاهد شماره گذاری و بایگانی و سپس از هر نمونه ۷۰۰ گرم برای مطالعه توزین گردید. برای مطالعه مارنهای آب (به دلیل نرمی رسوبات) استفاده شده و الکهایی که مشهای آنها میان این الکهای نمونه های الک ۲۵۰ میکرون که به صورت یک استاندارد جهانی است، مورد مطالعه قرار گرفته است. نمونه برداری از واحدهای سنگ آهکی نیز به صورت سیستماتیک و عمود بر امتداد لایه ها انجام شده است. در مجموع ۴۳ نمونه سنگ آهکی سخت از برش برداشت و از آنها مقاطع نازک تهیه شده است.

برای طیف سنجی و تحلیل داده های ایزوتوپی، ۱۳ نمونه (۵ نمونه از سنگ آهکها و ۸ نمونه از مارنهای آهکی) تحت شرایط خاله در ۱۰۰%  $H_3PO_4$  (ارتو-فسفریک اسید) به مدت ۲۴ ساعت و در دمای ۲۵ درجه سانتی گراد حل گردیده است. آزاد شده  $CO_2$  پس از انجماد از محلول خارج می شود) به وسیله Finnigan Mat delta plus gas mass-spectrometer در آزمایشگاه ایزوتوپهای سبک پایدار در

### روش مطالعه

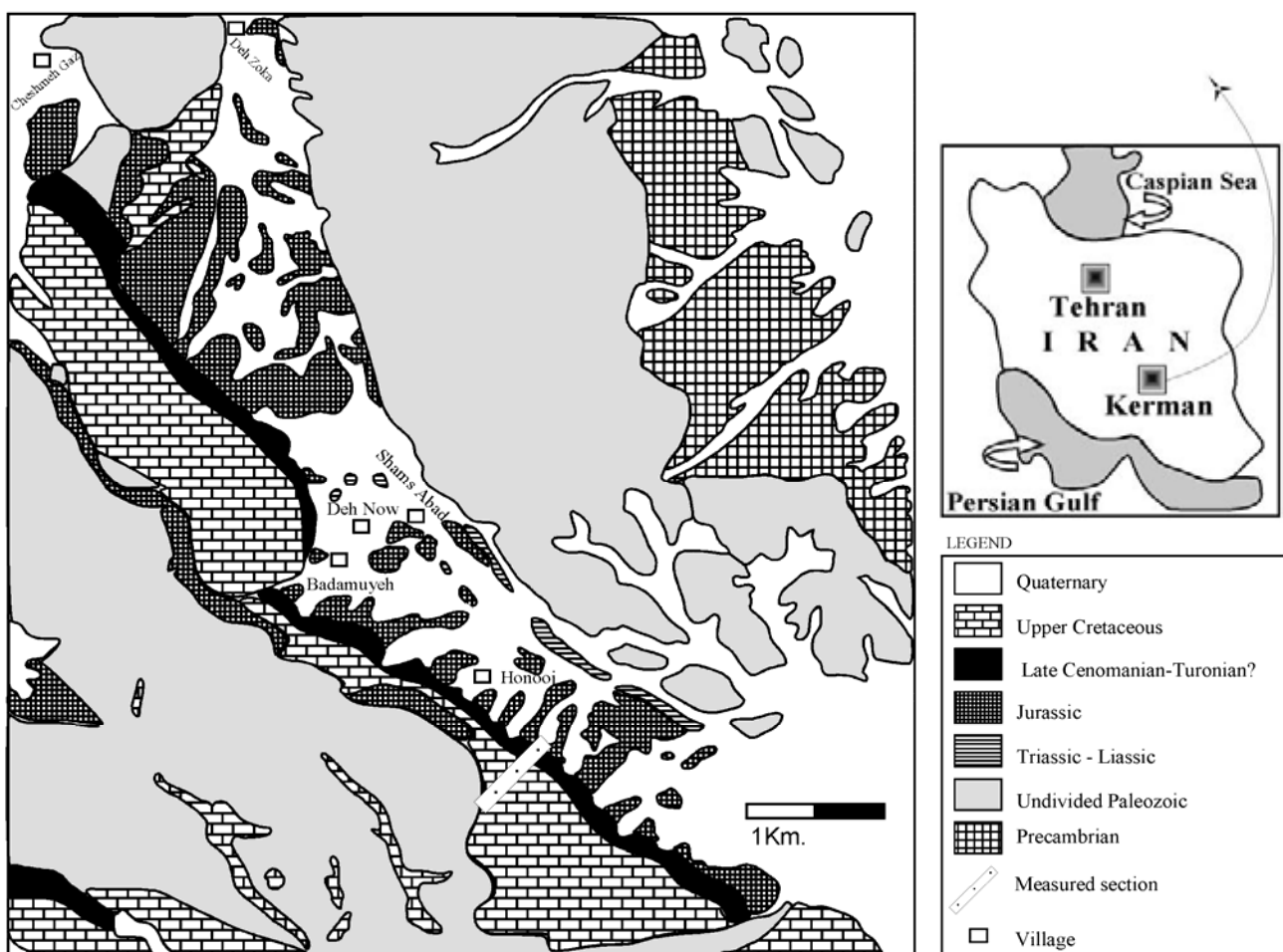
با توجه به این که، انجام هر مطالعه و تحقیق نیازمند مطالعات مقدماتی، شناسایی مناطق مطالعاتی، نمونه برداری و کارهای تکمیلی می باشد، لذا جمع آوری اطلاعات و منابع از منطقه مورد نظر، بررسیهای صحرایی و تعیین برش مناسب جهت برداشت نمونه ها، آماده سازی نمونه ها جهت مطالعه و شناسایی روزن داران و اُستراکد ها در آزمایشگاه، بررسیهای آزمایشگاهی و عملیات عکس برداری معمولی و SEM از جنس و گونه ها، مطالعات رایانه ای شامل ترسیم نقشه زمین شناسی، ستون چینه نگاری و نقشه راههای دسترسی به منطقه مورد بررسی و در نهایت تدوین و تنظیم اطلاعات از نتایج به دست آمده، انجام گردیده است.

از آن جایی که منطقه مورد بررسی شامل تواليهای مارن و سنگ آهک می باشد، لذا برای نمونه برداری از مارنهای آهکی نمونه برداری به طور سیستماتیک و از پایین به بالا صورت گیرد و نمونه ها از عمق مناسبی (۲۰ cm) برداشت شوند تا امکان آسودگی و هوازدگی آنها به حداقل برسد. لازم است فواصل نمونه برداری متناسب با ضخامت لایه باشد که در اینجا در فواصل ۳ متری از هم بوده است. در مجموع ۴۶

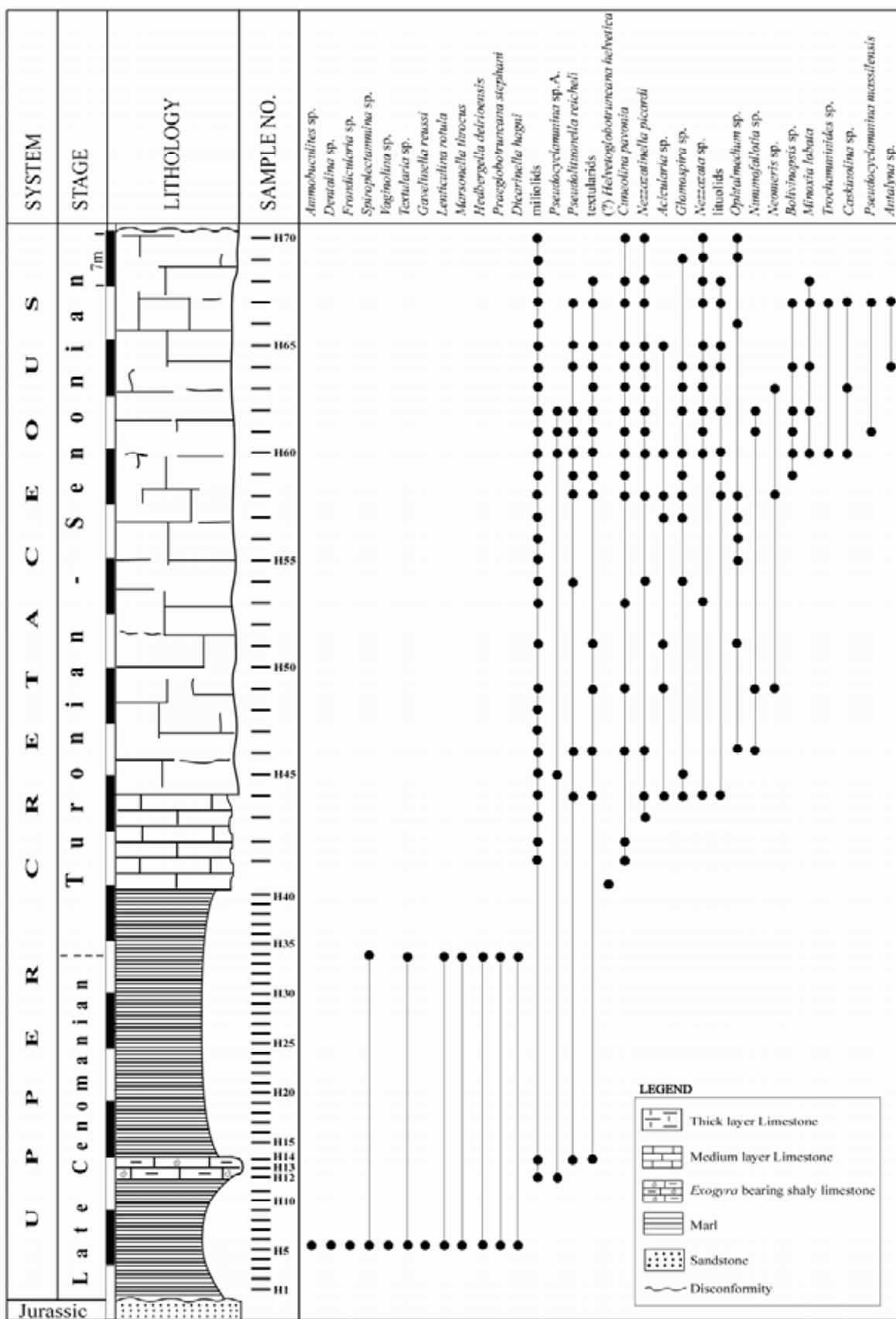
### ویژگیهای چینه‌ای برش مورد مطالعه

همان گونه که در نقشه زمین شناسی این منطقه در شکل ۳ مشخص است، نهشته‌های کرتاسه بالایی از گسترش و ضخامت خوبی در منطقه مورد مطالعه برخوردارند. قدیمی‌ترین نهشته‌ها در این منطقه متعلق به پرکامبرین بوده، هر چند رسوبات متعلق به پالئوزوئیک، ژوراسیک، نئوزن و کواترنری نیز از گسترش خوبی برخوردارند. به منظور بررسی رسوبات کرتاسه بالایی، یک برش در جنوب شرق دهکده هنوج انتخاب و مورد مطالعه قرار گرفته است. این برش را می‌توان به دو واحد سنگ چینه‌ای اصلی تقسیم نمود که ستون چینه نگاری و پراکندگی روزن‌داران در این ستون در شکل ۴ نشان داده شده است.

مؤسسه پالئوبیولوژی آکادمی علوم لهستان در شهر ورشو آنالیز شده است. نمونه گازی وارد طیف سنجی که دارای دو لوله ورودی است، می‌شود و اندازه گیریها تا ۸ بار تکرار شده تا مقدار اصلی محاسبه شود. خطای استاندارد اندازه گیریهای طیف سنج  $0.02\%$  می‌باشد. نتایج در هر هزار از استاندارد Vienna PeeDee Belemnite (VPDB) ثبت و با نماد دلتا ( $\delta$ ) نشان داده شده‌اند. دقت آنالیز ایزوتوپی کربن و اکسیژن معمولاً  $\pm 0.1\%$  است. داده‌ها با مقیاس VPDB که در National Bureau Standards NBS – 19 به کار می‌رود، بهنجار شده است –  $(\delta^{18}\text{O} = -2.20\% \text{ and } \delta^{13}\text{C} = 1.95\%)$ .



شکل ۳: نقشه زمین شناسی منطقه هنوج (برگفته از دژوکوویچ و همکاران، ۱۹۷۲؛ با اندکی تغییرات).



شکل ۴: ستون زیست چینه نگاری برش هنونج.

*Paracypris* sp. *Macrocypris* sp. sp. *Schuleridea* sp. *Pontocyprella harrisiana* دیگر عناصر این مجموعه را تشکیل می‌دهند. این مجموعه استراکدی توسط وزیری و همکاران (۲۰۰۷) مطالعه و منتشر شده‌اند.

(ج) **ماکروفیلیها:** بخش مارنهای هنوج و به ویژه هنوج زیرین نوع جالبی از ماکروفیلها را نشان می‌دهد. خارپستان، دوکفه‌ایها، اسفنجها، شکم پایان و آمونیتها از آن جمله‌اند. این نمونه‌ها از حفظ شدگی نسبتاً خوبی برخوردارند. مارنهای هنوج بالایی سرشار از اگزوژیرا و آمونیت می‌باشند و مرز سنومانین پسین - تورونین نیز در این واحد واقع است. این مجموعه ماکروفیلی توسط وزیری و همکاران (۲۰۰۶) منتشر گردیده‌اند.

**واحد ۲:** این بخش از سنگ آهکهای متوسط لایه تا توده‌ای تشکیل یافته که تا قسمت بالای برش گسترش می‌یابند. این لایه‌ها سرشار از روزن‌داران بنتونیک نظری *Antalyina* sp. *Glomospira* *Cuneolina pavonia*, *Bolivinopsis* sp. *Nezzazatinella*, *Nezzazata* sp., *Minouxia lobata* sp. *Pseudocyclammina*, *Nummofallotia* sp. *picardi*, *Pseudolituonella*, *Pseudocyclammina* sp.A. *massiliensis* و *miliolids*, *lituolids*, *Trochamminides* sp. *reicheli* هستند. انواع پلانکتونیک در این واحد غایب بوده و تنها تعداد بسیار کمی از شکلهای بدون کارن (Hedbergella sp.) حضور دارند. با توجه به پایین بودن نسبت روزن‌داران پلانکتونیک به بنتونیک و نیز فراوانی جلبکها در این منطقه، می‌توان چنین استنباط نمود که محیط کم عمق و شرایط برای زیست موجودات مطلوب بوده است. لازم به ذکر است که سنگ آهکهای بالایی از لحاظ سنی اشکوبهای کنیاسین - سانتونین را دربرمی‌گیرند.

## بحث

**واحد ۱:** بر روی نهشته‌های مربوط به ژوراسیک، مارنهای سبزرنگی قرار دارند که در این مقاله به طور غیررسمی مارنهای هنوج زیرین و بالایی نامگذاری شده‌اند. مارنهای هنوج زیرین ضخامتی در حدود ۱۴ متر و مارنهای هنوج بالایی ۳۳ متر ضخامت داشته و توسط یک میان لایه سنگ آهک شیلی اگزوژیرادار از یکدیگر تنکیک می‌گردند. سنگ آهک متوسط لایه نهشته شده بر روی مارنهای هنوج بالایی در بخش زیرین خود دارای دو رگه آهکی نازک و سیاه رنگ می‌باشد که حاوی تعداد کمی روزن‌داران *Helvetoglobotruncana helvetica* از قبیل *Hedbergella* sp. (?) و *textularids* است (رگه‌های آهکی سیاه رنگ در جنوب دهکده هنوج به خوبی قابل مطالعه هستند). مارنهای هنوج (به خصوص بخش پایینی) سرشار از روزن‌داران بتیک و پلانکتونیک، **استراکدها** و ماکروفیلها به شرح ذیل می‌باشند:

(الف) **روزن‌داران:** در حدود ۱۳ جنس و گونه از روزن‌داران بنتونیک به دست آمده که در میان آنها *Spiroplectammina* sp. می‌دهند. دیگر روزن‌داران موجود در این واحد شامل *Lenticulina*, *Frondicularia* sp., *Ammobaculites* sp., *Trochaminides* sp., *Osangularia* sp., *rotula* و *Vaginolina* sp. می‌باشند. تنوع و فراوانی روزن‌داران پلانکتونیک کم و شامل *Dicarinella hagni*, *Hedbergella* و *Praeglobotruncana stephani* می‌باشد.

(ب) **استراکدها:** در حدود ۱۷ جنس و گونه از استراکدها در مارنهای هنوج دیده می‌شود. در مجموعه استراکدهای این *Pterygocythereis* sp. و *Cytherella concava*, *Cornicythereis* sp. و *Cytherelloidea kayei*, *Cytherella* sp. کاملاً غالب هستند. گونه‌های *delrioensis*

حدود ۱% در بالاترین بخش خود می‌رسد. این بخش از منحنی نیز مطابق با مرحله بازیافت می‌باشد.

به طور کلی روند تغییرات منحنی  $C^{13}\delta$  مطابق با تنوع فسیلها در این برش می‌باشد. در پایین ترین بخش مارنهای هنوج شرایط برای زیست موجودات مناسب بوده و تنوعی از گروههای مختلف فسیلی مؤید این ادعاست. فراوانی اسفنجها، شکم پایان، خارپستان (به ویژه انواع منظم مانند *Conulus* و *Cidarids*)، دوکفهایها و ... در بخش پایین هنوج پایینی چشمگیر می‌باشد. به تدریج و با افزایش مقادیر  $C^{13}\delta$  از تنوع ماکروفسیلها کاسته می‌شود. فراوانی اگزوژیراهای در میان لایه سنگ آهک شیلی نشان می‌دهد شرایط برای زیست موجودات نامناسب بوده است، زیرا تجمع میزان فراوانی از مواد آلی در کف حوضه رسوبی باعث کاهش اکسیژن محیط گردیده است. یکی از راهکارهای بقا در اویسترها در شرایط ناگوار تولید مثل بالا و از دیاد سریع آنها می‌باشد. چنین مدلی از بقا در اویسترها میزان گزارش شده است (هریس و کافمن، ۱۹۹۰؛ هریس، ۱۹۹۳).

در مرحله تسطیح، تنوع فسیلها همچنان پایین بوده و تنها یک جنس از اسپاتانگوییدهای درون زی (*Pliotoxaster* sp.) و نیز اگزوژیراهای فرصت طلب به میزان فراوان در مارنهای مشاهده می‌شوند. به طور کلی روند منحنی  $C^{13}\delta$  در برش هنوج بسیار شبیه به آن چیزی است که از میزان سنومانین - تورونین سایر نقاط جهان گزارش گردیده است. علت اصلی مرحله Build up می‌تواند مربوط به بالا بودن آب دریاها در سنومانین بالایی و اوایل تورونین باشد که این مرحله مطابق با منحنی تغییرات سطح آب دریاها در زمان سنومانین - تورونین در شمال غرب اروپاست که در شکل ۵ نشان داده شده است. این بالا بودن و پیش روی آب باعث ورود مقادیر زیادی مواد غذایی به حوضه رسوبی گردیده و در نتیجه

مجموعه روزن‌داران بتونیک و پلاتکتونیک، استراکدها و ماکروفسیلها در بخشی پایینی (واحد ۱) بسیار شبیه به مجموعه‌های گزارش شده از حوضه Anglo-Paris اروپا است که توسط لامولدا (۱۹۸۲)، جارویس و همکاران (۱۹۸۸)، لری و پرتی (۱۹۹۱)، وزیری (۱۹۹۷)، پل و همکاران (۱۹۹۹) و دیگر محققین از میزان سنومانین - تورونین گزارش شده و سنی معادل سنومانین بالایی - تورونین را برای این واحد مشخص می‌نمایند. این سن پیش‌تر توسط دیمیتر یژویچ (۱۹۷۳) برای این منطقه، تنها سنومانین پسین تعیین شده بود. مطالعات جامع این مارنهای به ویژه از جنبه‌های ژئوشیمیایی نشان دهنده سن دقیق برای مارنهای مذکور بوده و منحنی  $C^{13}\delta$  این برش شاخص میزان سنومانین - تورونین می‌باشد. برخی از آمونیتهای خانواده Tissotidae (جنسهای *Heterotissotia* و *Tissotia*) متعلق به تورونین و همچنین وجود دوکفهای *Exogyra olisiponensis* در این مارنهای سن سنومانین پسین تا تورونین را برای این نهشته‌ها تأیید می‌نماید.

بخش بالایی (واحد ۲) از نظر سنگ شناسی کاملاً یکنواخت بوده و حضور *Minouxia lobata* و میکروفسیلها همراه با آن را می‌توان به عنوان شروع رسوب گذاری نهشته‌های کنیاسین - سانتونین در نظر گرفت.

در این برش تغییر مقادیر  $C^{13}\delta$  منجر به تمايز ۳ مرحله مختلف در آن شده است. منحنی با میزان ۲-۲% از پایین ترین بخش هنوج پایین شروع شده و با روندی افزایشی ادامه می‌یابد. اوج مقدار آن به میزان ۳/۲% در میان لایه اگزوژیرادر مشاهده می‌شود. این روند منحنی مطابق با مرحله جهش مثبت یا up می‌باشد. پس از میان لایه، مقدار  $C^{13}\delta$  نسبتاً ثابت بوده و بین ۲ تا ۲/۸% در نوسان است. این بخش از منحنی را می‌توان مطابق با مرحله تسطیح در نظر گرفت. پس از آن مقدار  $C^{13}\delta$  کاهش یافته و به

بررسیهای پالٹواکولوژیکی نیز نشان می‌دهند سه گروه از روزن‌داران بنتونیک در رسوبات وجود دارند که این گروهها عبارتند از:

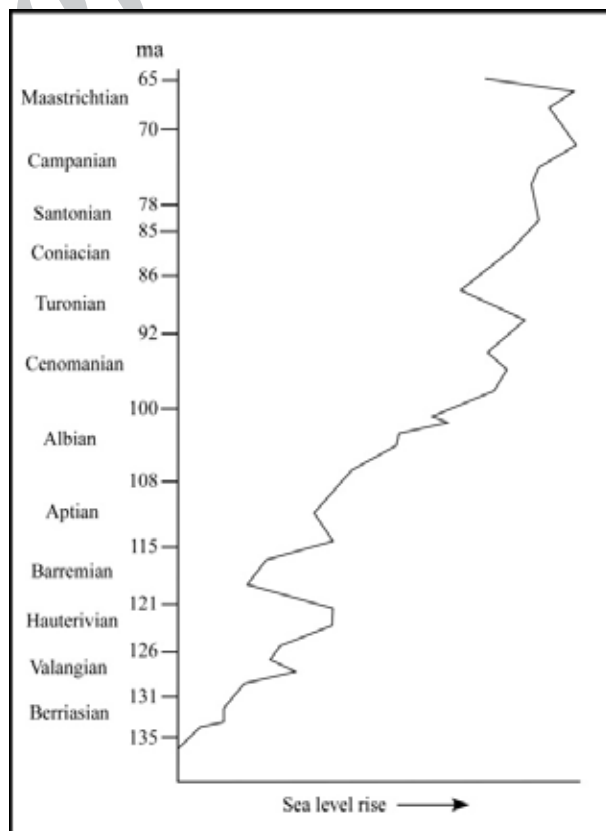
۱- سطح زیها که شامل جنسهای *Lenticulina* و *Trochamminoids* و *miliolids* می‌باشد.

۲- نیمه درون زیها که شامل جنسهای *Nezzazatinella* و *Nezzazata* می‌باشد.

۳- درون زیها که جنسهای *Cuneolina*, *Ammobaculites*, *Nodosaria*, *Minouxia*, *Frondicularia* و *textularids* و *Pseudolituonella* فراوانی و تنوع زیاد فسیلها در مارنهای سنومانین و نیز سنگ آهکهای متعلق به سنونین نشان دهنده محیط مطلوب و فاقد تنش در زمان تشکیل این نهشته‌ها می‌باشد.

بر اساس مطالعات و بررسیهای صورت گرفته توسط جونز و چارنوک (۱۹۸۵) و کاتساکوس و هارت (۱۹۹۰)، روزن‌داران در گروههای شکلی مختلفی قرار می‌گیرند. روزن‌داران بنتونیک را براساس تعداد حجرات، نحوه پیچیش صدف، نحوه زیست، نحوه تغذیه و جنس دیواره به گروههای شکلی متفاوتی تقسیم می‌نمایند. از گروههای شکلی روزن‌داران برای تشخیص زیستگاه آنها (سطح زی، نیمه درون زی و درون زی) و نحوه تغذیه آنها (رسوب خوار، گیاه خوار، ذره خوار یا همه چیز خوار) و در نهایت اکولوژی دیرینه استفاده می‌شود. به عنوان مثال از روی گروههای شکلی مختلف و نحوه زیست آنها می‌توان میزان مواد آلی و اکسیژن محلول در رسوبات را مشخص نمود (کایهو، ۱۹۹۹). گونه‌های درون زی نسبت به انواع سطح زی در برابر کمبود اکسیژن مقاومت بیشتری دارند. درون زیها صدفی کشیده، تک ردیفی یا چند ردیفی (دو ردیفی و سه ردیفی) داشته، در حالی که سطح زیها پلانی‌اسپیرال، تروکواسپیرال، مسطوح محدب یا محدب الطرفین می‌باشند (کاتساکوس و هارت، ۱۹۹۰). در منطقه مورد مطالعه،

شکوفایی فیتوپلانکتونها در سطح آب گردیده است. ریزش فیتوپلانکتونها به کف حوضه باعث اتمام اکسیژن کف شده، زیرا میزان اکسیژن موجود در کف حوضه جهت شکستگی و اکسیداسیون مواد آلی، قابل رقابت با میزان فیتوپلانکتونها نبوده است. در نتیجه کف حوضه رسوبی با کمبود اکسیژن مواجه شده است که به آن حادثه بی‌اکسیژنی کف اقیانوسها یا  $OAE2$  می‌گویند. در برش هنوج، منحنی  $\delta^{18}O$  دارای دو بخش متفاوت است به طوری که در مارنهای هنوج پایین، میان لایه اگزوژیرادار و تا اواسط مارنهای هنوج بالا مقادیر منحنی بین ۱-۶٪ در نوسان است (بخش ۱). پس از آن مقادیر منحنی روندی نزولی را طی نموده و به حدود ۰٪ در بالاترین بخش خود می‌رسد (بخش ۲). لازم به تذکر است که بخش دوم منحنی  $\delta^{18}O$  مطابق با مرحله بازیافت می‌باشد.



شکل ۵: تغییرات سطح آب دریا در زمان کرتاسه در شمال غرب اروپا (برگرفته از هانکوک و کافمن، ۱۹۷۹).

صورت گرفته توسط جونز و چارنوک (۱۹۸۵) و کاتساکوس و هارت (۱۹۹۰) می‌باشد.

گروههای شکلی مختلف تشخیص و خصوصیات کلی آنها در جدول (۱) نشان داده است که براساس کارهای

جدول ۱: گروههای شکلی و خصوصیات کلی آنها در برش هنوج (برگرفته از کاتساکوس و هارت، ۱۹۹۰؛ جونز و چارنوک، ۱۹۸۵).

مثال	نحوه تغذیه	نحوه زیست	نحوه پیچش صدف	تعداد حجرات	گروه شکلی
<i>textularids</i> <i>Minouxia</i> <i>Spiroplectammina</i>	رسوب خوار (پاکتری خوار و ذره خوار)	درون زی	کشیده و چند ردیفی (دو ردیفی یا سه ردیفی)	چند حجره ای	AG-A
<i>Nezzazata</i> <i>Nezzazatinella</i> <i>Trochamminides</i> <i>Antalyna</i>	رسوب خوار و گیاه خوار (متصل و نیمه متصل)	سطح زی تانیمه درون زی	تروکواسپیرال	چند حجره ای	B1
<i>Pseudocyclammina</i>	گیاه خوار و رسوب خوار فعال	سطح زی	پلاتیس پرال	چند حجره ای	B2
<i>Pseudolituonella</i>	رسوب خوار	درون زی	کشیده و مخروطی، مرحله اول ترو کو اسپیرال کوتاه و مرحله دوم تک ردیفی کوتاه و کشیده	چند حجره ای	AG-C
<i>Cuneolina</i>	رسوب خوار	درون زی	باد بزنی شکل، مرحله اول ترو کو اسپیرال با پنج حجره، که توسط حجرات دو ردیفی کوتاه و کشیده دنبال می‌شود.	چند حجره ای	AG-D
miliolids	رسوب خوار تا گیاه خوار	سطح زی	صدف کشیده دو کم تا بیضوی شکل	چند حجره ای	CP-A

#### زیرگروه شکلی AG-B<sub>1</sub>

شامل روزن داران آگلوتینه با پیچش تروکواسپیرال می‌باشد که به صورت سطح زی، رسوب خوار و گیاه خوار متصل یا نیمه متصل یافت می‌شوند. این روزن داران چند حجره‌ای بوده و جنسهای *Nezzazatinella*, *Antalyna*, *Trochamminides* و *Pseudocyclammina* را دربرمی‌گیرند.

#### زیرگروه شکلی AG-B<sub>2</sub>

روزن داران آگلوتینه با پیچش پلانی اسپیرال می‌باشد. این روزن داران، رسوب خوار فعال بوده و به صورت سطح زی زیست می‌کنند. از این زیر گروه شکلی *Pseudocyclammina* را می‌توان نام برد.

#### زیرگروه شکلی AG-C

روزن داران آگلوتینای کشیده و مخروطی شکل را دربرگرفته که در مرحله اول، پیچش تروکواسپیرال کوتاه

گروههای شکلی مشاهده شده در منطقه مورد مطالعه عبارتند از:

#### گروه شکلی AG

روزن داران با پوسته آگلوتینه را دربر گرفته که صدف آنها از مواد و ذرات مختلف تخریبی و خارجی تشکیل یافته و به وسیله سیمانی که توسط خود موجود ترشح می‌گردد به هم متصل شده‌اند. سطح خارجی صدف این روزن داران معمولاً ناهموار و خشن می‌باشد. براساس نحوه پیچش صدف و نحوه زیست به چند زیر گروه شکلی تقسیم می‌شوند:

#### زیرگروه شکلی AG-A

روزن داران آگلوتینای تک ردیفی و چند ردیفی (دو یا سه ردیفی) را شامل می‌شود که به صورت درون زی زیست نموده و اکثرآ رسوب خوارند. به عنوان مثال *Minouxia* و *textularids* در این زیر گروه شکلی *Spiroplectammina* قرار دارند.

می‌باشد. این نهشته‌ها به سمت بالا به سنگ آهک‌های ستیغ ساز ختم می‌شوند. نهشته‌های موجود در منطقه هنوج محدوده سنی از سنومانین پسین - تورونین و نیز تا سانتونین را نشان می‌دهند. در این برش مرز سنومانین پسین - تورونین به طور بارز مشخص می‌باشد. وجود نهشته‌های متعلق به تورونین و نیز احتمالاً کنیاسین در برش هنوج نشان می‌دهد فاز کوه‌زایی ساب هرسینین در این ناحیه چندان مؤثر نبوده است.

مجموعه فسیلهای شناسایی شده در برش هنوج نشان دهنده محیطی گرم و کم عمق می‌باشد. فراوانی و تنوع زیاد فسیلها در مارنهای سنومانین پسین - تورونین و نیز سنگ آهک‌های متعلق به کنیاسین - سانتونین نشان دهنده محیطی مطلوب و فاقد تنش در زمان تشکیل این نهشته‌ها می‌باشد. از لحاظ اکولوژیکی، حضور استراکدهای پلاتی کوپید و پودو کوپید در نهشته‌های مناطق مورد مطالعه، بیانگر محیطی مناسب و فاقد تنش بوده که این مطلب با تنوع روزن‌داران و ماکروفسیلها نیز تأیید می‌گردد. استراکدهای برش مذکور مشابه با آن چیزی است که توسط محققین مختلف از مرز سنومانین - تورونین گزارش شده است. حضور *Minouxia lobata* و میکروفسیلهای همراه با آن را می‌توان به عنوان شروع رسوب گذاری نهشته‌های کنیاسین - سانتونین در نظر گرفت. از لحاظ بوم شناسی دیرینه سه گروه از روزن‌داران سطح زی، نیمه درون زی و درون زی در منطقه مورد بررسی شناسایی شده‌اند.

بوده و مرحله دوم تک ردیفی کوتاه و کشیده می‌شود. این روزن‌داران درون زی و رسوب خوار بوده و تک حجره‌ای می‌باشد. این زیر گروه تنها جنس *Pseudolituonella* را دربرمی‌گیرد.

#### زیر گروه شکلی AG-D

روزن‌داران آگلوتینه‌ای را شامل می‌شود که صدفی بادبزنی شکل داشته و به صورت چند حجره‌ای، درون زی و رسوب خوار می‌باشد. مرحله اول پیچش، تروکواسپیرال بوده، اما بعداً توسط حجرات دو ردیفی کوتاه و کشیده دنبال می‌شوند. جنس *Cuneolina* در این زیر گروه قرار دارد.

#### گروه شکلی CP:

این گروه، روزن‌داران با پوسته آهکی پورسلانوز را دربرگرفته و تنها شامل زیر گروه زیر می‌باشد:

#### زیر گروه شکلی CP-A:

روزن‌داران این زیر گروه، صدفی کشیده، دوکی تا بیضوی شکل داشته و به صورت چند حجره‌ای یافت می‌شوند. این روزن‌داران به صورت سطح زی و حفار در عمق کم یافت شده و رسوب خوارند. به عنوان مثال *Quinqueloculina miliolids* و *Spiroloculina* را می‌توان نام برد.

#### نتیجه‌گیری

نهشته‌های متعلق به کرتاسه پسین در غرب کرمان از توسعه، گسترش و ضخامت بسیار خوبی برخوردارند. این نهشته‌ها عمدها شامل مارنهای سبز رنگ هنوج زیرین و بالایی بوده و حاوی میان لایه‌ای از سنگ آهک شیلی اگزوژیرادر

**Plate 1****Foraminiferal assemblage recovered from the Late Cenomanian – Santonian sediments of the Honooj area.**

- Fig. a. *Nezzazatinella picardi*, ( $\times 64$ ). Sub equatorial section.  
 Fig. b. *Nezzazatinella picardi*, ( $\times 40$ ). Sub axial section.  
 Fig. c. *Cuneolina pavonia*, ( $\times 64$ ). Longitudinal section.  
 Fig. d. *Cuneolina pavonia*, ( $\times 64$ ). Transverse section.  
 Fig. e. *Pseudolituonella reicheli*, ( $\times 45$ ). Longitudinal section.  
 Fig. f. *Minouxia lobata*, ( $\times 64$ ). Longitudinal section.  
 Fig. g. lituolids, ( $\times 64$ ). Sub equatorial section.  
 Fig. h. *Nezzazata* sp., ( $\times 100$ ). Equatorial section.  
 Fig. i. *Trochamminides* sp., ( $\times 100$ ). Equatorial section.  
 Fig. j. textularids, ( $\times 64$ ). Longitudinal section.  
 Fig. k. *Bolivinopsis* sp., ( $\times 100$ ). Longitudinal section.  
 Fig. l. *Glomospira* sp., ( $\times 64$ ). Transverse section.  
 Fig. m. *Antalyna* sp., ( $\times 55$ ). Sub equatorial section.  
 Fig. n. *Ophthalmidium* sp., ( $\times 64$ ). Transverse section.  
 Fig. o. *Nummofallotia* sp., ( $\times 64$ ). Transverse section.  
 Fig. p. *Hedbergella* sp., ( $\times 80$ ). Axial section.  
 Fig. q. *Pseudocyclammina massiliensis* ( $\times 30$ ). Sub axial section.  
 Fig. r. *Acicularia* sp., ( $\times 64$ ). Transverse section.  
 Fig. s. *Pseudocyclammina* sp.A., ( $\times 40$ ). Sub axial section.  
 Fig. t. (?)*Helvetoglobotruncana helvetica* ( $\times 116$ ). Axial section.  
 Fig. u. *Hedbergella delrioensis* ( $\times 134$ ).  
 Fig. v. *Dicarinella hagni* ( $\times 86$ ).  
 Fig. w. *Praeglobotruncana stephani* ( $\times 90$ ).

**Plate 2****Ostracods recovered from the Late Cenomanian – Turonian sediments of the Honooj area.**

- Figs. 1, 2. *Cytherella* spp., ( $\times 84$ ).  
 Fig. 3. *Schuleridea* sp., ( $\times 71$ ).  
 Fig. 4. *Cytherella concava*, ( $\times 115$ ).  
 Fig. 5. *Cytherelloidea kayei*, ( $\times 116$ ).  
 Fig. 6. *Cytherelloidea ghabounensis*, ( $\times 118$ ).  
 Fig. 7. *Cytherelloidea* sp., ( $\times 118$ ).  
 Fig. 8. *Bairdoppilata* sp., ( $\times 84$ ).  
 Fig. 9. ?*Ilyocypris* sp., ( $\times 116$ ).  
 Fig. 10. *Ovocytheridea* sp., ( $\times 112$ ).  
 Fig. 11. *Pontocyprilla harrisiana*, ( $\times 113$ ).  
 Fig. 12. *Paracypris* sp., ( $\times 113$ ).  
 Fig. 13. *Macrocypris* sp., ( $\times 69$ ).  
 Fig. 14. *Isocythereis elongata*, ( $\times 115$ ).  
 Fig. 15. *Cornicythereis* sp., ( $\times 115$ ).  
 Fig. 16. *Rehacythereis* sp., ( $\times 141$ ).  
 Fig. 17. *Monoceratina* sp., ( $\times 112$ ).  
 Fig. 18. *Pterygocythereis* sp., ( $\times 69$ ).

Plate 1

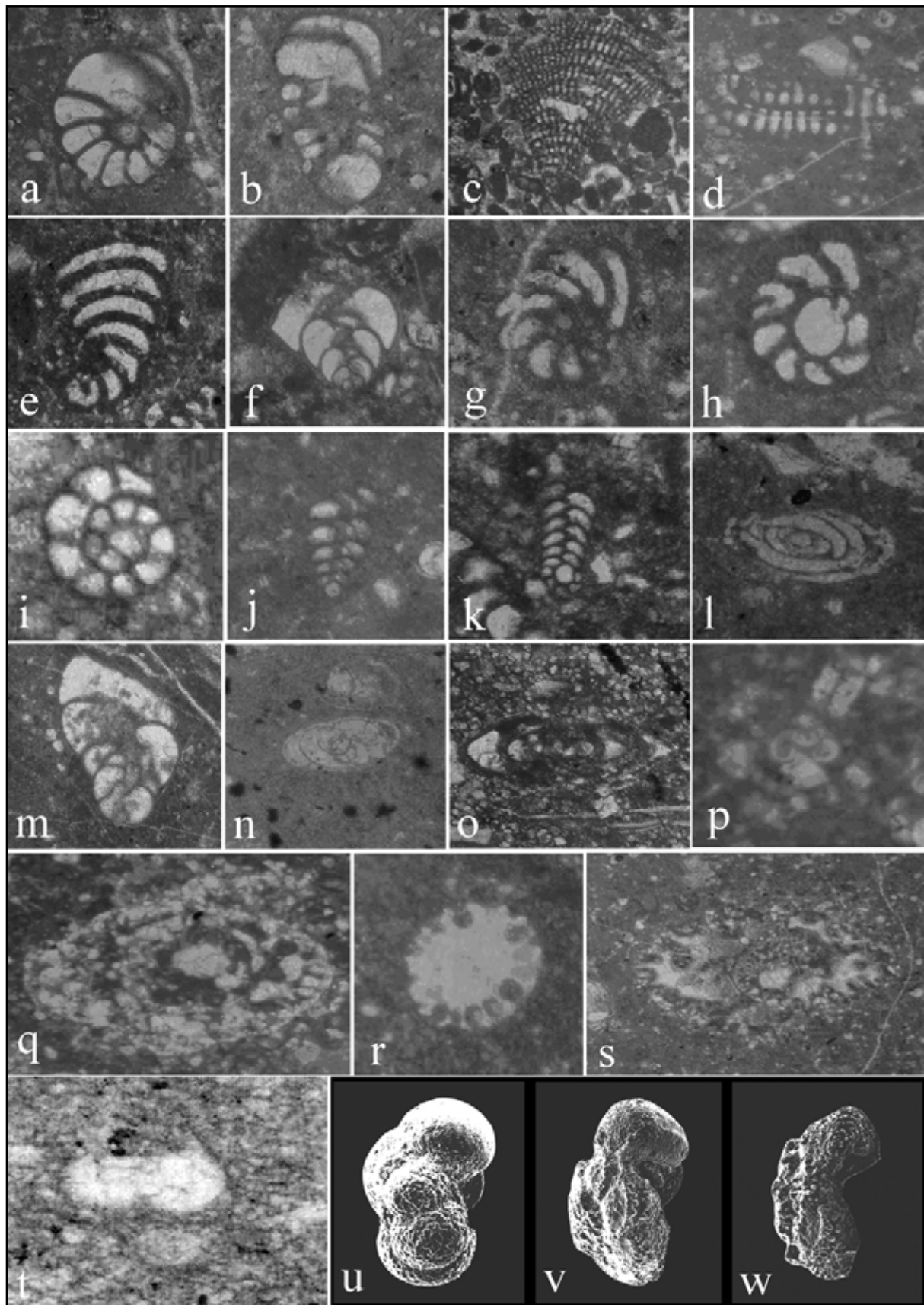
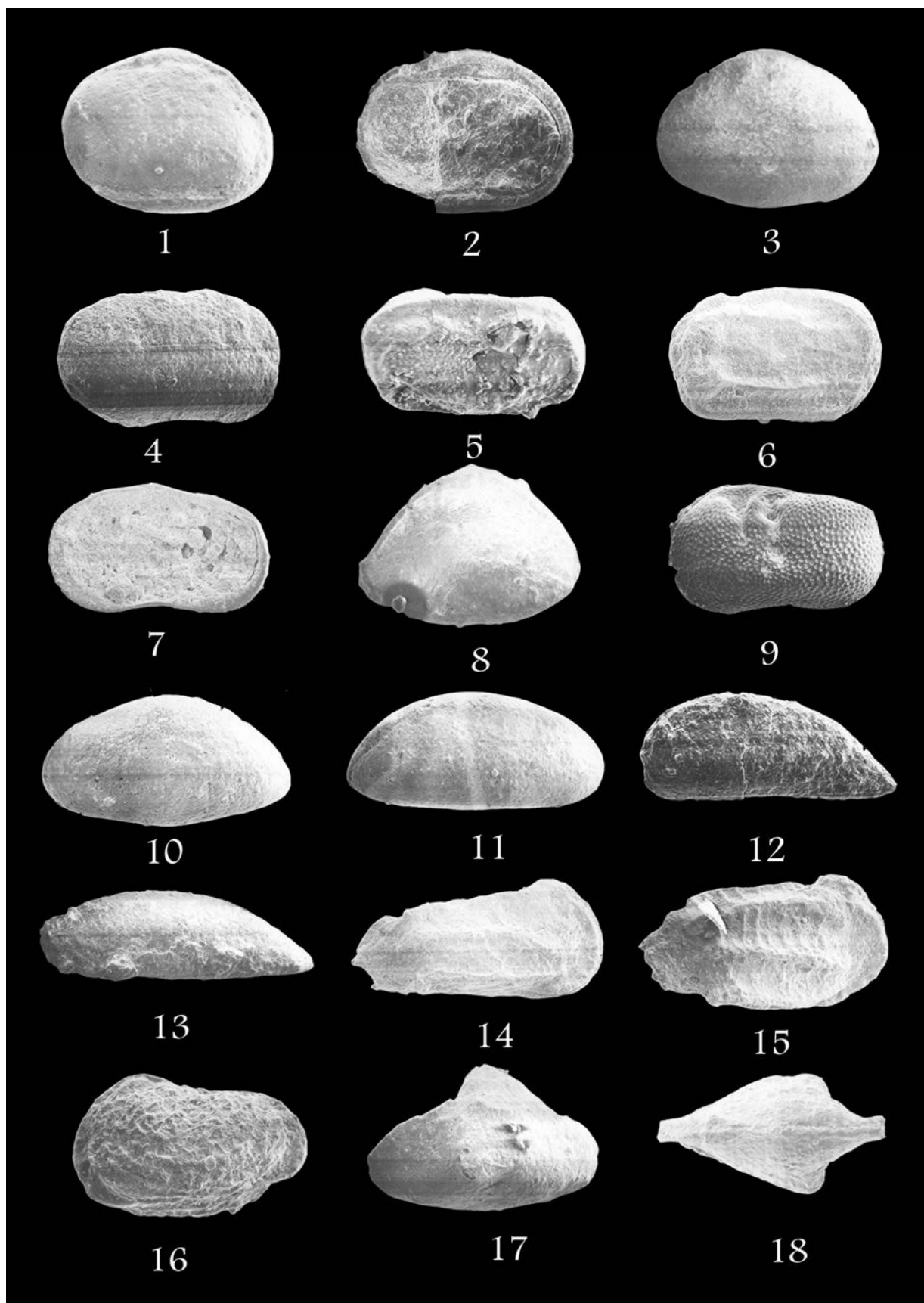


Plate 2



## منابع

- بختیاری، س.، ۱۳۸۸. اطلس راههای ایران، مقیاس ۱:۱۰۰۰۰۰۰. مؤسسه جغرافیایی و کارتوگرافی گیاتاشناسی تهران، ۲۸۸ ص.
- بگی، ح.، ۱۳۷۵. بیواستراتیکرافی رسوبات کرتاسه بالایی در ناحیه سمیرم (آب تلخ). پایان نامه کارشناسی ارشد، دانشگاه اصفهان، ۱۳۹ ص.
- جعفریان، م.، بگی، ح.، اعتصامپور، ا.، ۱۳۷۹. بررسی تأثیر فاز ساب هرسی نین و تعیین مرز کامپانین - مایستریشتین در ناحیه سمیرم در زاگرس چین خورده. چهارمین همایش انجمن زمین شناسی ایران، تبریز، ص ۹۶-۹۴.
- عرب، ا.، ۱۳۸۳. چینه شناسی، فسیل شناسی و پالئوکولوژی نهشته‌های کرتاسه بالایی در غرب کرمان. پایان نامه کارشناسی ارشد، دانشگاه شهید باهنر کرمان، ۱۸۷ ص.
- عرب، ا.، وزیری، م. ر.، داستانپور، م.، خردمند، ع.، عامری، ح.، ۱۳۸۴. استراکدهای آلبن بالایی - سنومانین زیرین در برش هنوج (غرب کرمان). بیست و چهارمین گردهمایی علوم زمین، سازمان زمین شناسی و اکتشافات معدنی کشور، ص ۷۲.
- عرب، ا.، ۱۳۸۹. سیستماتیک فسیلهای، پالئوکولوژی و کمواستراتیکرافی مارنهای کرتاسه میانی در غرب و شمال غرب کرمان. پایان نامه دکتری، دانشگاه شهید باهنر کرمان، ۳۴۶ ص.
- ماهانی پور، ا.، ۱۳۸۳. بیواستراتیکرافی و پالئوکولوژی نهشته‌های کرتاسه بالایی در شمال و شمال غرب کرمان. پایان نامه کارشناسی ارشد، دانشگاه شهید باهنر کرمان، ۲۸۶ ص.
- Dimitrijevic, M.D., 1973. Geology of Kerman Region. *Institute for Geological and Mining Exploration and Investigation of Nuclear and other mineral Raw materials*, Yu (52): 334 p.
- Djokovic, I., Dimitrijevic, M.N., Cvetic, S., & Dimitrijevic, M.D., 1972. Geological map of Baghin in 1: 100000 scale. *Geological survey of Iran*.
- Fisher, J.K., Price, M.B., & Leng, M.J., 2005. Stable isotope analysis of the Cenomanian-Turonian (Late Cretaceous) oceanic anoxic events in the Crimea. *Cretaceous Research*, 26: 853-863.
- Hancock, J.M., & Kauffman, E.G., 1979. The great transgressions of the Late Cretaceous. *Proceedings of the Geologists Association*, 100: 5565-594.
- Harries, P.J., 1993. Dynamics of survival following the Cenomanian-Turonian (Upper Cretaceous) mass extinction event. *Cretaceous Research* 14: 563-583.
- Harries, P.J., & Kauffman, E.G., 1990. Patterns of survival and recovery following the Cenomanian – Turonian (Late Cretaceous) mass extinction in the Western Interior Basin, United States. In: Kauffman, E.G., & Walliser, O.H., (eds.), Extinction events in Earth history. *Lecture Notes in Earth History*, 30: 277-298.
- Huckriede, R., Kursten, M., & Venzlaff, H., 1962. Zur Geologie des Gebietes Zwischen Kerman und Sagand (Iran). *Beiheft Zum Geologischen Jahrbuch*. 51: 197 p.
- Jarvis, I., Carson, G.A., Cooper, K., Hart, M.B., Horne, D., Leary, P.N., Rosenfeld, A., & Tocher, B.A., 1988. Microfossil assemblage and the Cenomanian-Turonian (Upper Cretaceous) oceanic anoxic vent. *Cretaceous Research*, 9: 2-104.
- Jones, R.W., & Charnock, M.A., 1985. Morphogroups of agglutinating Foraminifera, their life positions and feeding habits and Potential applicability in (Paleo) ecological studies. *Revue de paleobiologie*, 4: 311-320.
- Kaiho, K., 1999. Effects of organic carbon flux and dissolved oxygen on the Benthic Foraminiferal oxygen index (BFOI). *Marine Micropaleontology*, 37: 67-76.
- Koutsoukos, E.A.M., & Hart, M.B., 1990. Cretaceous Foraminiferal morphogroup distribution patterns, Paleocommunities and trophic structures: a case study from the Sergipe Basine, Brazil. *Earth Science*, 81: 221-246.

- Leary, P.N., & Peryt, D., 1991. The late Cenomanian oceanic anoxic event in the western Anglo-Paris Basin and southeast Danish-Polish Trough: survival strategies of and recolonisation by benthonic Foraminifera. *Historical Biology*, 5: 321-338.
- Lamolda, M.A., 1982. Le Turonien Basco-Cantabrique et ses faunes caractéristiques. *Memoires du Museum National d'Histoire Naturelle*, C49: 101-112.
- Paul, C.R.C., Lamolda, M.A., Mitchell, S.F., Vaziri, M.R., Gorostidi, A., & Marshall, J.D., 1999. The Cenomanian-Turonian boundary at Eastbourne (Sussex, UK): a proposed European reference section. *Palaeogeography, Palaeoclimatology, Palaeoecology*, 150: 83-121.
- Vaziri, M.R., 1997. Patterns of microfaunal occurrence across the Cenomanian-Turonian Boundary in England. *University of Liverpool*, 340p. (Unpublished Ph.D. thesis).
- Vaziri, M.R., Dastanpour, M., Mahanipour, A., & Arab, A., 2006. A mid-Cretaceous Macrofossil Assemblage from West of Kerman Area. *Journal of Science, University of Tehran*, 32 (2): 105-113.
- Vaziri, M.R., Mahanipour, A., & Arab, A., 2007. Mid-Cretaceous Ostracods from West of Kerman (Iran): Paleoenvironment and paleogeographic relationships. *Iranian Journal of Science and Technology, Transaction A*, 31 (A1): 131-135.